

ПОПЕРЕЧНАЯ ДИФФУЗИЯ И ТЕПЛОПРОВОДНОСТЬ  
В ЗЕРНИСТОМ СЛОЕ

*С. И. Кучанов, В. Г. Левич, Л. М. Письмен*

(Москва)

Исследуется процесс нестационарной поперечной диффузии пассивной примеси в зернистом слое, описываемом ячеистой моделью. Общие результаты, полученные авторами в работе [1], применены к анализу конкретных процессов переноса вещества и тепла в зернистом слое. Рассматриваются следующие четыре модели ячеек: 1) ячейки идеального смешения без застойных зон; 2) ячейки идеального смешения с застойными зонами идеального смешения; 3) ячейки идеального смешения с диффузионными застойными зонами; 4) ячейки идеального смешения с диффузионными застойными зонами при конечной скорости обмена между свободным объемом и застойной зоной. Найдены условия применимости каждой из указанных моделей. Для всех моделей определяется время установления нормального распределения в процессе поперечной диффузии. Эта величина связывается далее с физическими характеристиками процессов переноса вещества в слое непористых и пористых частиц, переноса тепла в зернистом слое и переноса вещества в слое частиц, адсорбирующих примесь.

**§ 1. Общие результаты.** В работе [1] исследовался процесс поперечной диффузии пассивной примеси в зернистом слое. Согласно принятой там модели, слой рассматривается как совокупность ячеек, соединенных каналами. Жидкость или газ, проходя сквозь слой, перетекает из ячеек каждого горизонтального уровня в ячейки следующего уровня вниз по течению, каждый раз случайным образом смещаясь в поперечном направлении на некоторое расстояние, определяемое структурой упаковки слоя. Каждая ячейка характеризуется некоторой дифференциальной функцией распределения времени пребывания в ячейке  $f(t)$ , в дальнейшем называемой микрораспределением. Вид микрораспределения, определяющийся физическими процессами внутри ячейки, в работе [1] не конкретизировался. Было найдено, что лапласовский образ вероятности смещения частицы примеси на  $t$  ячеек в направлении, нормальному к направлению движения потока, имеет вид

$$F_m(p) = \frac{g^{-1} - 1}{p\sqrt{g^{-2} - 1}} (g^{-1} - \sqrt{g^{-2} - 1})^m \quad (g(p) = \int_0^\infty f(t) e^{-pt} dt) \quad (1.1)$$

Здесь  $g(p)$  — характеристическая функция микрораспределения. Функция  $F_m(t)$  далее называется макрораспределением. Основными характеристиками макрораспределения являются дисперсия  $\mu_2(t)$  и коэффициент эксцесса  $Ex(t)$ , характеризующий отклонение распределения от нормального закона. В работе [1] были найдены следующие асимптотические формулы для этих двух величин:

$$\mu_2(t) = \frac{t}{\alpha_1} + \frac{\alpha_2}{2\alpha_1^2} \quad (t \gg t_1 = \frac{-1}{\text{Re } p_1}) \quad (1.2)$$

$$Ex(t) = \frac{\mu_4(t)}{\mu_2^2(t)} - 3 = \left( \frac{t}{\alpha_1} + \frac{\alpha_2}{2\alpha_1^2} \right)^{-2} \left[ \frac{t}{\alpha_1} \left( 1 + \frac{3\alpha_2}{\alpha_1^2} \right) + \frac{\alpha_2}{\alpha_1^2} + \frac{15}{4} \frac{\alpha_2^2}{\alpha_1^4} - \frac{2\alpha_3}{\alpha_1^3} \right]$$

Здесь  $\alpha_i$  — коэффициенты разложения в ряд Тейлора функции

$$\Delta(p) = g^{-1} - 1 = \sum_{j=1}^{\infty} \alpha_j (-1)^{j+1} \frac{p^j}{j!} \quad (1.3)$$

Формулы (1.2) справедливы на временах  $t \gg t_1$ , причем  $p_1 (\operatorname{Re} p_1 < 0)$  — ближайший к мнимой оси нуль функции  $\Delta(p)$ . Из асимптотических формул следует, что при  $t \rightarrow \infty$  устанавливается нормальное распределение с дисперсией  $t/s$ , где  $s$  — среднее время пребывания в ячейке, не зависящее от формы микрораспределения. Однако о скорости установления нормального распределения нельзя ничего сказать, не уточняя вида функции  $f(t)$  или  $\Delta(p)$ . Ниже рассмотрен ряд конкретных моделей, приводящих к функциям микрораспределения определенного вида, и установлена тем самым связь между параметрами, входящими в общие формулы (1.2), и физическими характеристиками зернистого слоя и протекающего сквозь него потока.

**2. Исследование моделей.** *2.1°. Ячейки идеального смешения (модель 1).* Простейшей является модель ячеек идеального смешения [2]. Для этой модели характеристическая функция микрораспределения и функция макрораспределения определяются формулами

$$g(p) = (1 + ps)^{-1}, \quad F_m(t) = I_m(t/s)e^{-t/s} \quad (2.1)$$

Здесь  $I_m$  — модифицированная функция Бесселя первого рода индекса  $m$ . Формулы для моментов макрораспределения и коэффициента эксцесса можно получить как непосредственно из (2.1), так и из выражений (1.2). Последние в рассматриваемом случае являются не асимптотическими, а точными формулами, поскольку характеристическая функция (2.1) не равна единице нигде, кроме точки  $p = 0$ . Находим

$$\mu_2(t) = t/s, \quad \mu_4(t) = t/s + 3t^2/s^2, \quad \operatorname{Ex}(t) = s/t \quad (2.2)$$

Из (2.2) видно, что нормальное распределение устанавливается на временах  $t \gg s$ . Заметим, что за время  $t$  фронт потока успевает пройти  $n = t/s$  ячеек по длине слоя. В рассматриваемом случае нормальное распределение в процессе поперечной диффузии устанавливается по прохождении  $n \gg 1$  ячеек. Такая скорость приближения к нормальному закону является максимально возможной, так как на временах  $t \sim s$  и длинах порядка размера ячейки вообще бессмысленно говорить о законе макрораспределения.

*2.2°. Ячейки идеального смешения с застойными зонами идеального смешения (модель 2).* Рассмотрим ячейку, состоящую из двух областей — свободного объема и застойной зоны. Поток газа или жидкости проходит только через свободный объем ячейки. При не слишком малых числах Рейнольдса ( $R = ul/v \geq 50$ , где  $u$  — линейная скорость потока,  $l$  — характерный размер ячейки или диаметр зерна,  $v$  — кинематическая вязкость) свободный объем ячейки можно считать идеально перемешанным. Концентрация примеси (метки)  $c_1$  постоянна во всем свободном объеме, а ее изменение во времени определяется уравнением

$$dc_1/dt = c_1/t_0 - I\sigma \quad (2.3)$$

Здесь  $t_0$  — среднее время пребывания в свободном объеме, равное отношению последнего к объемной скорости потока,  $I$  — поток из свободного объема в застойную зону через их границу, площадь которой, отнесенная к единице свободного объема, равна  $\sigma$ . В модели, рассматриваемой в данном пункте, предполагается, что концентрация метки в застойной зоне  $c_2$  не зависит от пространственных координат, являясь лишь функцией времени.

Эта модель застойных зон была предложена ранее в связи с рассмотрением процесса продольной диффузии [3].

Уравнения и начальные условия для концентраций  $c_1$ ,  $c_2$  имеют вид

$$\frac{dc_1}{dt} = -\frac{c_1}{t_0} - \alpha q (c_1 - c_2), \quad \frac{dc_2}{dt} = q (c_1 - c_2), \quad c_1(0) = \frac{1}{V_1}, \quad c_2(0) = 0 \quad (2.4)$$

Здесь  $q$  — константа скорости обмена между застойной зоной и свободным объемом, отнесенная к объему застойной зоны  $V_2$ ,  $\alpha$  — отношение объема застойной зоны  $V_2$  к свободному объему ячейки  $V_1$ . Решая систему уравнения (2.4), можно найти функцию распределения времени пребывания частицы в ячейке  $f(t)$ , которая совпадает с функцией  $c_1(t)$  с точностью до нормировочного множителя  $V_1 / t_0$ . Вычисляя характеристическую функцию микрораспределения для данной модели, определим  $\Delta(p)$

$$\begin{aligned} \Delta(p) &= p t_0 (p + q)^{-1} [p + q (1 + \alpha)] \\ \Delta(p) &= 0 \text{ при } p_0 = 0 \text{ и } p_1 = q (1 + \alpha) \end{aligned} \quad (2.5)$$

Используя (2.5), находим

$$\alpha_1 = s = t_0 (1 + \alpha), \quad \alpha_2 = \frac{2\alpha}{1 + \alpha} \frac{s}{q}, \quad \alpha_3 = \frac{6\alpha}{1 + \alpha} \frac{s}{q^2} \quad (2.6)$$

Зная величины  $\alpha_1$ ,  $\alpha_2$ ,  $\alpha_3$ , по формулам (1.2) можно найти асимптотические выражения для дисперсии и коэффициента эксцесса макрораспределения в данной модели зернистого слоя, справедливое на временах  $t \gg t_1$

$$\begin{aligned} \mu_2(t) &= \frac{t}{s} + \frac{\alpha}{(1 + \alpha)qs} \quad (t \gg t_1 = \frac{1}{q(1 + \alpha)}) \\ Ex(t) &= \left( \frac{t}{s} + \frac{\alpha}{1 + \alpha} \frac{1}{qs} \right)^{-2} \left| \frac{t}{s} \left( 1 + \frac{6\alpha}{1 + \alpha} \frac{1}{qs} \right) + \frac{2\alpha}{(1 + \alpha)qs} + \right. \\ &\quad \left. + \frac{15\alpha^2}{(1 + \alpha)^2(qs)^2} - \frac{12\alpha}{(1 + \alpha)(qs)^2} \right] \end{aligned} \quad (2.7)$$

Исследование выражений (2.7) показывает, что коэффициент эксцесса  $Ex$ , характеризующий отклонение распределения от нормального закона, станет малым по сравнению с единицей по истечении времени  $t \gg t_s = \max[s, q^{-1}]$ . Нетрудно заметить, что при выполнении условия  $Ex(t) \ll 1$  в формуле для  $\mu_2(t)$  нужно оставить только первый член. Для того чтобы уяснить смысл полученных выше результатов, выпишем точную формулу для дисперсии макрораспределения данной модели и проследим ее изменение во времени

$$[\mu_2(t)] = \frac{t^1}{s} + \frac{\alpha}{(1 + \alpha)qs} [1 - e^{-q(1+\alpha)t}] \quad (2.8)$$

Вначале при  $t \ll [q(1 + \alpha)]^{-1}$  дисперсия растет со временем как  $t / t_0$ . Физически этому периоду соответствует время, когда примесь еще не успела проникнуть в застойную зону. Затем рост дисперсии замедляется; при  $t \gg [q(1 + \alpha)]^{-1}$  экспонента в (2.8) пропадает и начинает выполняться асимптотическая формула (2.7). Характер дальнейшего изменения дисперсии во времени существенно зависит от величины параметра  $\alpha$ . Если  $\alpha \leq 1$ , то  $\mu_2(t) = t / s \sim t / t_0$ , т. е. закон изменения дисперсии практически такой же, как и на малых временах. Иная картина наблюдается при  $\alpha \gg 1$ . В этом случае в течение промежутка времени  $[q(1 + \alpha)]^{-1} \ll t \ll q^{-1}$  дисперсия остается постоянной и равной  $(qs)^{-1}$ , после чего при  $t \gg q^{-1}$  начинается очень медленное, по сравнению с первона-

чальным, возрастание дисперсии по закону  $t / s$ . Изложенные выше результаты иллюстрируются графически фигурой, на которой приведена дисперсия макрораспределения в зависимости от времени.

При  $\alpha \gg 1$  в течение периода  $t_s \gg t \gg t_1$ , соответствующего постоянной дисперсии, примесь, попав в застойные зоны очень большой емкости, практически не перемещается в поперечном направлении. По прошествии времени  $t_s$  между ячейками и застойными зонами устанавливается динамическое равновесие и они вместе работают как единая ячейка очень большой емкости.

*2.3°. Ячейки идеального смешения с диффузионными застойными зонами (модель 3).* Рассмотрим теперь застойные зоны, в которых скорость переноса примеси уже нельзя считать бесконечной. В этом случае концентрация метки внутри застойной зоны будет зависеть не только от времени, но и от пространственных координат и удовлетворять уравнению молекулярной диффузии. Защитную зону будем считать плоской с толщиной  $\delta$ , и направим ось  $x$  так, что  $x = 0$  на границе застойной зоны со свободным объемом и  $x = \delta$  на «запечатанной» границе. Тогда уравнение для  $c_2$  и граничные и начальные условия к нему принимают вид

$$D \frac{\partial^2 c_2}{\partial x^2} = \frac{\partial c_2}{\partial t}, \quad D \frac{\partial c_2}{\partial x} \Big|_{x=\delta} = 0, \quad c_2(0, t) = c_1(0, t) \quad (2.9)$$

Решая уравнение (2.9) совместно с (2.3), найдем  $g(p)$  и  $\Delta(p)$ , соответствующие данной модели

$$\Delta(p) = pt_0 + \varepsilon \delta t_0 \sqrt{Dp} \operatorname{th} \sqrt{\frac{p}{D}} \delta = pt_0 \left( 1 + \alpha \frac{\operatorname{tg} \lambda}{\lambda} \right) \quad (2.10)$$

$$\left( \alpha = \varepsilon \delta, \lambda = \delta \sqrt{\frac{p}{D}} \right)$$

Здесь  $\varepsilon$  — отношение удельных емкостей застойной зоны и свободного объема. Характерное время  $t_1$ , по истечении которого можно пользоваться асимптотическими формулами (1.2), определяется из решения трансцендентного уравнения

$$\alpha \operatorname{tg} \lambda + \lambda = 0, \quad t_1 = \frac{1}{\lambda^2} \frac{\delta^2}{D} = \frac{t_d}{\lambda^2} \quad (1/2\pi < \lambda_1 < \pi) \quad (2.11)$$

Для  $\Delta(p)$ , определяемой по формуле (2.10), находим

$$\alpha_1 = s = t_0(1 + \alpha), \quad \alpha_2 = \frac{2}{3} \frac{\alpha}{1 + \alpha} st_d, \quad \alpha_3 = \frac{4}{5} \frac{\alpha}{1 + \alpha} st_d^2 \quad (2.12)$$

Из вида формул (2.12), следует, что с точностью до численных коэффициентов они формально совпадают с формулами (2.6), если считать  $t_d$  равным  $q^{-1}$ . Вследствие этого можно сразу заключить, что  $t_s = \max [s, t_d]$ , а также, что при выполнении условия  $t \gg t_s$  дисперсия равна  $t / s$ . Следует подчеркнуть, что, несмотря на формальное совпадение формул (2.6) и (2.12), модели, приводящие к этим формулам, существенно различны. Это различие особенно сильно проявляется при  $\alpha \gg 1$ . В последнем случае модель 3 не может приводить к такой зависимости от времени, при которой существует промежуток времени с постоянной дисперсией.

*2.4. Ячейки идеального смешения с диффузионными застойными зонами при конечной скорости обмена между свободным объемом и застойной зоной (модель 4).* При конечной скорости обмена между свободным объемом ячейки и застойной зоной нужно изменить граничное условие на следующее

$$\frac{I}{\varepsilon} = D \frac{\partial c_2}{\partial x} = k(c_2 - c_1) \quad \text{при } x = 0 \quad (2.13)$$

Здесь  $k$  — коэффициент обмена. С учетом (2.13) находим

$$\Delta(p) = pt_0 + \alpha B \frac{t_0}{t_d} \left( B \frac{\operatorname{ctg} \sqrt{pt_d}}{\sqrt{pt_d}} + 1 \right)^{-1} \quad (B = \frac{k\delta}{D}) \quad (2.14)$$

( $B$  — число Био)

Нетрудно убедиться, что (2.14) содержит в себе, как предельные случаи, формулы (2.5) и (2.10). Для того чтобы получить (2.10), нужно перейти в (2.14) к пределу  $k \rightarrow \infty$ . Формула (2.5), соответствующая застойным зонам идеального перемешивания, получается из общей формулы в пределе при  $D \rightarrow \infty$ , причем в этом случае параметр  $q$  модели 2 оказывается равным  $k/\delta$ .

Нули функции  $\Delta(p)$  находятся из решения трансцендентного уравнения

$$\lambda^2 - B\lambda \operatorname{ctg} \lambda - \alpha B = 0 \quad (2.15)$$

служащего обобщением уравнения (2.11) модели 3. Характерное время  $t_1$  связано с наименьшим по абсолютной величине корнем  $\lambda_1$  уравнения (2.15) соотношением  $t_1 = t_d / \lambda_1^2$ , аналогичным тому, которое получено для модели 3. Однако, в отличие от последнего,  $\lambda_1$  теперь зависит от значения параметра  $B$  и вывода о том, что  $\lambda_1 \sim 1$  при всех значениях  $B$ , сделать в данном случае нельзя.

Исследование уравнения (2.15) показывает, что корень  $\lambda_1$  может быть малым по сравнению с единицей только при одновременном выполнении условий

$$B \ll 1, \quad \alpha B \ll 1 \quad (2.16)$$

Если условия (2.16) выполнены, то время  $t_1$  (много большее  $t_d$ ) определяется тем же выражением, которое было получено для модели 2. Таким образом, выполнение неравенств (2.16) является необходимым условием применимости модели застойных зон идеального смешения. В случае, если хотя бы одно из неравенств (2.16) не выполняется, корень  $\lambda_1$  будет порядка единицы, а время  $t_1 \sim t_d$ . Используя формулу (2.14), найдем

$$\alpha_1 = s = t_0(1 + \alpha), \quad \alpha_2 = \frac{\alpha}{1 + \alpha} st_d \frac{2(B + 3)}{3B}, \quad \alpha_3 = \frac{6\alpha}{1 + \alpha} st_d^2 \left[ \frac{1}{45} + \left( \frac{B + 3}{3B} \right)^2 \right] \quad (2.17)$$

Нетрудно убедиться, что при  $B \gg 1$  выражения (2.17) переходят в (2.12), а при  $B \ll 1$  — в (2.6). Отсюда, в частности, следует, что условия (2.16) являются не только необходимыми для возможности использования модели застойных зон идеального смешения, но также и достаточными. Для модели 3 условием применимости служит неравенство  $B \geq 1$ . Если же  $B \sim 1$ , то необходимо пользоваться общими формулами (2.17). Как нетрудно заметить,  $B = qt_d$ , и поэтому в общем случае произвольных  $B$  время установления нормального распределения определяется наибольшей из величин  $s$ ,  $t_d$ ,  $q^{-1}$ .

**3. Физическая интерпретация результатов.** Приведенная схема является весьма общей и применима к анализу процессов переноса как вещества, так и тепла. Далее будет рассмотрен ряд конкретных процессов.

**1.3°. Перенос вещества в слое непористых частиц.** Здесь застойными зонами являются области близ поверхности твердых частиц, в которых турбулентные пульсации затухают и перенос вещества осуществляется только путем молекулярной диффузии. Такой застойной зоной является плоский (с толщиной  $\delta$ , много меньшей диаметра зерна  $l$ ) диффузационный

пограничный слой у твердой поверхности [4]. Для диффузионного слоя величина  $\sigma$  совпадает с удельной поверхностью твердых частиц и по порядку величины равна  $l^{-1}$ . Величина  $\varepsilon = 1$ , так что  $\alpha \sim \delta / l \ll 1$ . Сопротивление на границе свободного объема и застойной зоны отсутствует; поэтому  $k = \infty$  и  $B = \infty$ . Отсюда непосредственно следует, что данный процесс описывается моделью 3. Согласно результатам п. 2.3°, время установления нормального распределения определяется наибольшей из величин  $s$  и  $t_d$ . Сравним эти величины

$$t_d/s = \delta^2/D t_0 \sim RP/N^2 \sim R^{-0.2} P^{1/3} \quad (3.1)$$

где  $N = \delta / l$  — диффузионное число Нуссельта и  $P = v / D$  — диффузионное число Прандтля. В последней оценке использована эмпирическая зависимость  $N(R, P)$  для зернистого слоя [5]; будем пользоваться этой зависимостью и при последующих оценках. Из (3.1) следует, что отношение  $t_d/s \sim 1$  — для газовых потоков и  $t_d/s \sim 10$  — для жидкостей; зависимость от числа Рейнольдса практически не проявляется. Очевидно, отношение  $t_d/s$  определяет число ячеек  $n_s$ , которое проходит фронт потока до установления нормального распределения в процессе поперечной диффузии. Нетрудно заметить, что в газах нормальное распределение устанавливается так же быстро, как и в отсутствие застойных зон (модель 1), а в жидкостях — несколько медленней.

Другой застойной зоной в слое непористых частиц является область близ точки соприкосновения зерен [6]; эта область — существенно не-плоской формы. В слое сферических зерен ее граница со свободным объемом ячейки представляет собой боковую поверхность цилиндра высотой  $\delta_0$ , равной толщине вязкого подслоя, и радиусом  $\sqrt{\delta_0 l}$ , так что  $\sigma \sim \delta_0^{5/2} l^{-5/2}$ . Число застойных зон такого рода, приходящихся на одну ячейку, определяется структурой упаковки слоя. Диффузия в глубь такой застойной зоны сильно затруднена, и как было показано в работе [6], посвященной продольному перемешиванию в зернистом слое, их влияние на размывание метки нейтральной примеси намного сильней, чем у застойных зон вблизи поверхности частиц. Характеристическая функция для ячеек с застойными зонами близ точек соприкосновения зерна была получена в работе [6]

$$g(p) = \left\{ 1 + pt_0 + \varepsilon \delta t_0 \sqrt{Dp} \left[ \frac{I_0(\sqrt{pt_0})}{I_1(\sqrt{pt_0})} - \frac{2}{\sqrt{pt_0}} \right] \right\}^{-1} \quad (3.2)$$

Нетрудно показать, что с точностью до численных коэффициентов результаты для этой модели могут быть получены при помощи функции (2.14), соответствующей модели 3, если положить

$$\delta = \sqrt{\delta_0 l}, \quad \alpha = (\delta_0 / l)^2$$

При этом

$$n_s = t_d/s \sim l \delta_0 / D t_0 \sim RP^{4/3} / N \sim R^{0.4} P \quad (3.3)$$

Здесь различие между жидкостью и газом проявляется гораздо сильнее, чем в (3.1). Из (3.3) следует, что если в газах застойные зоны близ точек контакта не играют заметной роли, то для жидких потоков приближение к нормальному распределению сильно замедляется и оно устанавливается только по прохождении фронтом потока большого числа ячеек  $n \gg n_s \gg 1$ . В этом случае, если число ячеек по длине слоя не слишком велико ( $n \leq n_s$ ), нормальное распределение может вовсе не успеть установиться за время прохождения последнего фронтом потока.

*3.2°. Перенос вещества в слое пористых частиц.* Здесь застойной зоной является само пористое зерно; эффект застойных зон, рассмотренных ранее, по сравнению с рассматриваемым здесь, пренебрежимо мал. Поскольку диффузия в пористом зерне протекает сравнительно медленно, вещество не успевает проникнуть в зерно глубоко, и геометрию застойной зоны можно по-прежнему считать плоской. Под  $D$  теперь надо подразумевать эффективный коэффициент диффузии в пористой частице, а  $\delta$  можно считать равным ее гидравлическому радиусу. Коэффициент обмена  $k$  равен коэффициенту массопередачи на внешнюю поверхность зерна. Простые оценки показывают [7], что в этом случае  $B \gg 1$ , так что рассматриваемая система описывается моделью 3. Отношение удельных емкостей застойной зоны и свободного объема пористой частицы порядка единицы; из определения параметра  $\alpha$  следует, что для данного процесса  $\alpha \sim 1$ . Оценка числа  $n_s$  показывает, что

$$n_s = t_d / s = \delta^2 / D s \sim u l / D \sim R P \quad (3.4)$$

Из (3.4) видно, что эффект застойных зон значителен даже для газовых потоков.

*3.3°. Перенос тепла в зернистом слое.* При исследовании переноса тепла застойными зонами также служат твердые частицы. Как и в предыдущей модели, под  $\delta$  следует понимать гидравлический радиус зерна;  $D$  имеет смысл коэффициента температуропроводности твердой частицы. Коэффициент  $\varepsilon$  равен в данном случае отношению теплоемкостей единицы объема твердой частицы и потока  $\gamma_p / \gamma_s$ . Для газовых потоков  $\varepsilon \gg 1$  и соответственно  $\alpha \gg 1$ ; в жидкостях обычно  $\varepsilon \sim 1$  и  $\alpha \sim 1$ . Коэффициент обмена равен  $k = k_t / \gamma_p$ , где  $k_t$  — коэффициент теплопередачи на внешнюю поверхность зерна. Параметр  $B$  в данном случае равен

$$B = k_t \delta / \chi_p \sim N \chi_s / \chi_p \sim R^{0.6} P^{1/3} \chi_s / \chi_p \quad (3.5)$$

Здесь  $N$  — тепловое число Нуссельта,  $P$  — тепловое число Прандтля, а  $\chi_p$ ,  $\chi_s$  — теплопроводности соответственно твердых частиц и потока. Из (3.5) следует, что  $B$  может принимать самые различные значения, однако малые  $B$  более характерны для газовых потоков, а большие  $B$  — для жидкостных. В зависимости от величины параметра  $B$ , система описывается одной из трех моделей (2—4).

Следует отметить, что даже при сравнительно большой теплопроводности твердых частиц последние по-прежнему работают, как застойные зоны. Это происходит вследствие того, что теплопроводность по твердой фазе через точки контакта между частицами чрезвычайно затруднена [8]. Теплопроводность от ячейки к ячейке через твердую частицу также не играет заметной роли, поскольку

$$\varepsilon k / u \sim N / RP \sim R^{-0.4} P^{-2/3} \ll 1 \quad (3.6)$$

Согласно общим результатам, полученным для модели 4, время установления нормального распределения определяется наибольшей из величин:  $s$ ,  $t_d$ ,  $q^{-1}$ . Соответственно  $n_s$  определяется наибольшей из величин

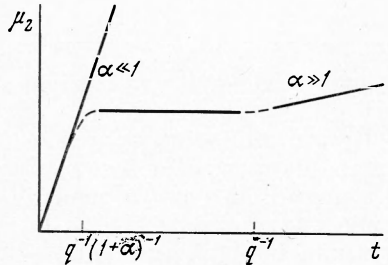
$$1, \frac{t_d}{s} \sim \frac{RP}{1 + \alpha}, \quad \frac{1}{qs} \sim \frac{R^{0.4} P^{2/3}}{1 + \alpha} \frac{\chi_p}{\chi_s} \sim \frac{t_d}{Bs}$$

В газовых потоках при умеренных числах Рейнольдса ( $R \sim 10^2 - 10^3$ ) имеем  $t_d / s \leq 1$ , и  $n_s$  может значительно превышать 1 только при достаточно малом  $B$ , т. е. в слое частиц большой теплопроводности. В послед-

нем случае кривая, выражающая зависимость дисперсии макрораспределения от времени, может иметь горизонтальный участок (фигура). В жидкостях  $t_d/s \gg 1$ , и потому всегда  $n_s \gg 1$ . Как уже отмечалось, для жидкостей малые значения числа Био нехарактерны, так что величина  $t_d/s$  обычно превосходит все остальные, и  $n_s = t_d/s$ .

*3.4°. Перенос вещества в слое непористых частиц, адсорбирующих примесь.* В данном пункте «застойной зоной» является поверхность зерен, адсорбирующих примесь. Если связь между концентрацией вещества у поверхности и поверхностной концентрацией адсорбированного вещества определяется законом Генри с константой  $a$  (имеющей размерность длины), то рассматриваемый процесс описывается моделью 2, причем в соответствующих формулах надо положить  $q = k/a$ ,  $\alpha = \sigma a$ .

Под  $k$  надо здесь понимать коэффициент массопередачи на внешнюю поверхность зерна. Согласно результатам п. 2.2°, время установления нормального распределения определяется большей из величин  $s$  и  $a/k$ . Число ячеек  $n_s$  в данном случае равно



$$n_s = \frac{a}{ks} \sim \frac{u}{k} \frac{a}{a+l} \sim \frac{a}{a+l} R^{0.4} P^{2/3} \quad (3.7)$$

Из формулы (3.7) следует, что максимальное значение  $n_s = u/k$  получается при  $a \gg l$ . Однако не следует забывать, что, наряду с адсорбционным механизмом задержки вещества в ячейке, существует задержка вещества в диффузионном слое (см. п. 3.1°), которая приводит к значению  $n_s \sim u\delta / kl$ . Сравнивая эту величину с (3.7), видим, что адсорбционный механизм задержки эффективнее диффузионного при  $a > \delta$ . В случае достаточно сильной адсорбции ( $a \gg l$ ) зависимость дисперсии макрораспределения будет иметь плато (фигура) на временах  $l/k \ll t \ll a/k$ .

[Поступила 12 X 1966]

#### ЛИТЕРАТУРА

- Письмен Л. М., Кучанов С. И., Левич В. Г. Поперечная диффузия в зернистом слое. Докл. АН СССР, 1967, т. 174, № 3.
- Kramers H., Abbergel G. Frequency response analysis of continuous flow systems, Chem. Engng Sci., 1953, vol. 2, p. 173
- Левич В. Г., Маркин В. С., Чизмаджев Ю. А. О гидродинамическом перемешивании в модели пористой среды с застойными зонами. Докл. АН СССР, 1966, т. 166, № 6.
- Gottschlich H. Axial dispersion in packed beds. Amer. Inst. Chem. Engng. J., 1963, vol. 9, p. 88
- Aris R. Introduction to the analysis of chemical reactors. Prentice-Hall, Englewood Cliffs, N. J., 1965
- Левич В. Г., Письмен Л. М., Кучанов С. И. Гидродинамическое перемешивание в зернистом слое. Физическая модель застойных зон. Докл. АН СССР, 1966, т. 168, № 2.
- Левич В. Г., Харкац Ю. И., Письмен Л. М. Влияние внешнедиффузионного торможения на процесс в пористом катализаторе. Докл. АН СССР, 1966, т. 171, № 2.
- Masamune S., Smith J. M. Thermal conductivity of beds of spherical particles. Industr. Engng Chem. Fund., 1963, vol. 2, p. 136.